

# ОСОБЕННОСТИ УПРАВЛЕНИЯ НЕУРАВНОВЕШЕННЫМ ВЕРТИКАЛЬНЫМ ПОДЪЕМНИКОМ С АСИНХРОННЫМ ПРИВОДОМ

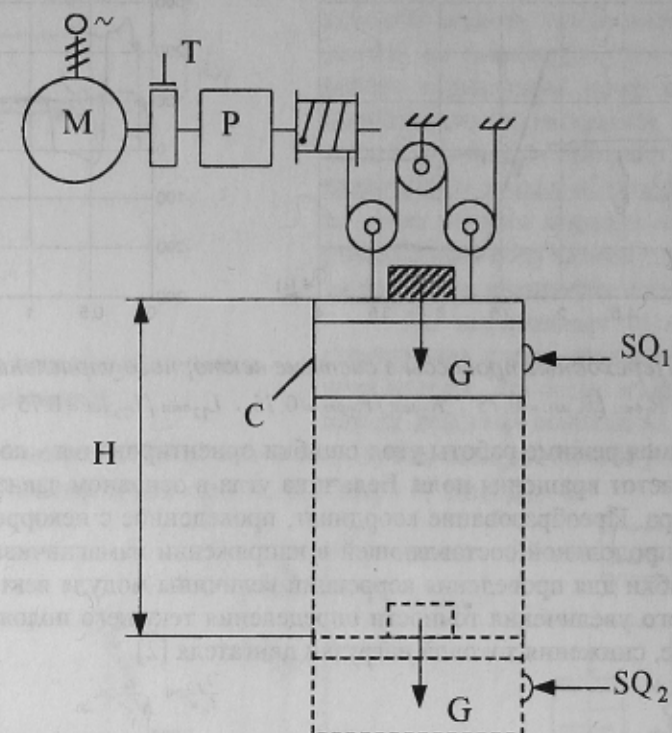
**Борисенко В.Ф., Чепак А.А**

**Донецкий национальный технический университет**

**olga@pandora.kita.dgtu.donetsk.ua**

*The questions of forming the scheme of control for setting electromechanical system are considered*

Высокопроизводительный межэтажный подъемник (рис. 1) предназначен для быстрого подъема или опускания груза  $G$  на фиксированную высоту  $H$ . Для ускорения транспортных операций скорость перемещения стола  $C$  принимается высокой:  $0,25 \dots 0,35$  м/с. С целью удешевления привода, в нем применен высокоскоростной асинхронный короткозамкнутый двигатель  $M$ . Промежуточным механическим устройством служит червячный редуктор  $P$  с передаточным числом  $i_p \approx 20$ . Фиксирующим звеном в крайних положениях стола является колодный тормоз  $T$  с электрогидравлическим толкателем.



*Рисунок 1 – Кинематическая схема вертикального подъемника с местами расположения конечных выключателей*

В связи с отсутствием у редуктора эффекта самоторможения (эффект наступает при  $i_p > 30 \dots 40$ ), замедленным возрастанием тормозного усилия, а также изменчивостью веса груза  $G$ , актуальной является задача обеспечения точной остановки стола у нижнего уровня.

Поскольку нагрузка  $M_c$  электропривода, обусловленная весом стола с грузом, носит активный характер, электромеханическая система подъемника в режимах подъема и опускания ведет себя по-разному (рис. 2). При движении стола вверх двигатель работает на механической характеристике 1 подъема с частотой вращения  $\omega_n$ . При наезде стола на конечный выключатель  $SQ_1$  двигатель отключается и кинетическая энергия движущихся частей быстро гасится моментом  $M_t$  тормоза и статическим моментом  $M_c$ , действующими против движения.

Суммарный момент при подъеме [1]

$$M_{\Sigma n} = -M_c - M_t$$

определяет достаточно высокую величину замедления

$$\varepsilon_n = \frac{M_{\Sigma n}}{J_{\Sigma}},$$

где  $J_{\Sigma}$  - приведенный к двигателю суммарный момент инерции движущихся частей электромеханической системы.

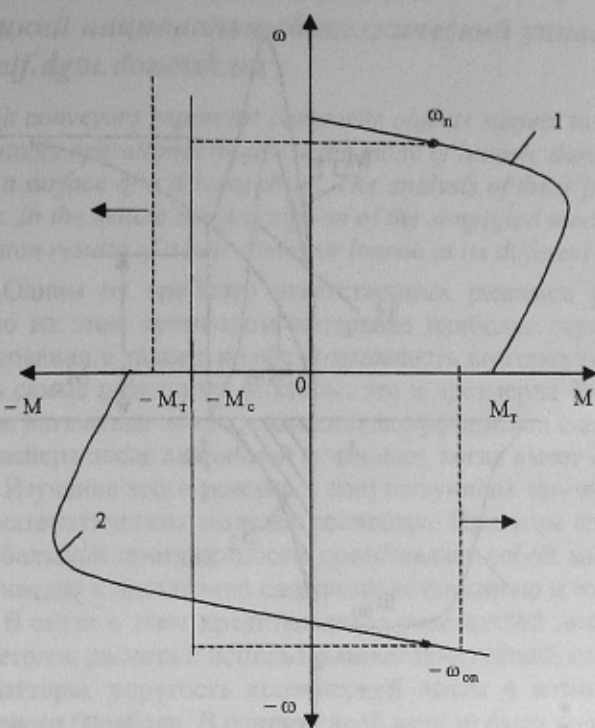


Рисунок 2 – Механические характеристики электропривода подъемника в режимах подъема и опускания стола

При номинальном грузе время замедления и пробег двигателя минимальны, но они вполне достаточны, чтобы тормозное усилие возросло (вид по стрелке), с нуля до значения, обеспечивающего фиксацию стола без обратного его хода. Изменчивость веса груза существенно влияет на величину пробега, но в данном случае пробег мал, что обуславливает относительно высокую точность остановки. При движении стола вниз двигатель, переключенный на реверс (характеристика 2), переходит в генераторный режим опускания с установленной частотой вращения  $-\omega_{on}$  и при наезде стола на конечный выключатель  $SQ_2$  отключается. В действие вступает электрогидравлический тормоз, момент  $M_t$  которого плавно нарастает (вид по стрелке) с нуля до максимального значения.

Суммарный момент при опускании будет [там же]

$$M_{\Sigma on} = -M_c + M_m, \quad (1)$$

что определяет величину замедления

$$\varepsilon_{on} = \frac{M_{\Sigma on}}{J_{\Sigma}}, \quad (2)$$

абсолютное значение которого существенно ниже, чем при подъеме.

Из равенств (1) и (2) следует, что, поскольку в начале нарастания тормозного момента его значение ниже статического момента, замедление двигателя отрицательно и электромеханическая система получает дополнительное приращение частоты вращения под действием движущего момента  $M_c$ , наращивая запас кинетической энергии, затем, при  $M_t > M_c$ , тормозится. При этом стол проходит несколько десятков сантиметров, что недопустимо по условиям безопасной эксплуатации механизма.

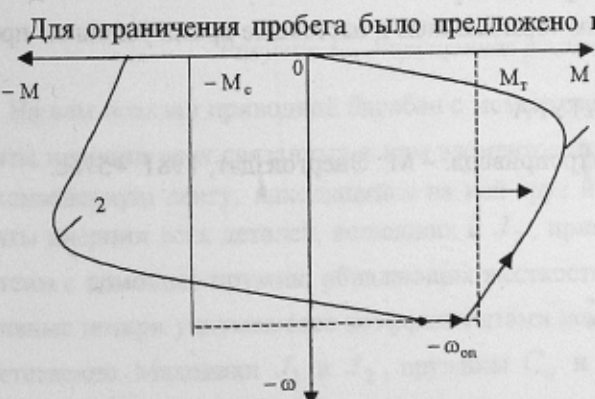


Рисунок 3 – Механические характеристики подъемника с использованием динамического торможения в режиме опускания

Для ограничения пробега было предложено и реализовано использование динамического торможения двигателя (рис. 3) с фиксированным временем включения. В результате, при наезде стола на выключатель  $SQ_2$ , одновременно вступают в действие момент  $M_t$  тормоза и тормозной момент  $M$  двигателя в соответствии с механической характеристикой 3, обеспечивая величину замедления двигателя

$$\varepsilon'_{on} = \frac{-M_c + M_m + M}{J_{\Sigma}} = \frac{-M_c + M_{m\Sigma}}{J_{\Sigma}},$$

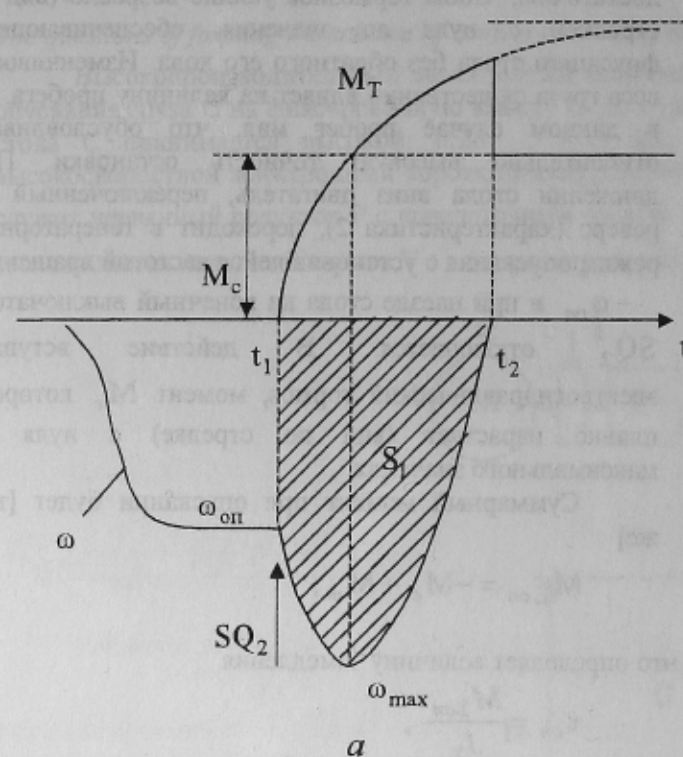
значительно превышающую значение  $\varepsilon_{on}$ .

Описанные режимы наглядно иллюстрируются временными зависимостями, приведенными на рис. 4.

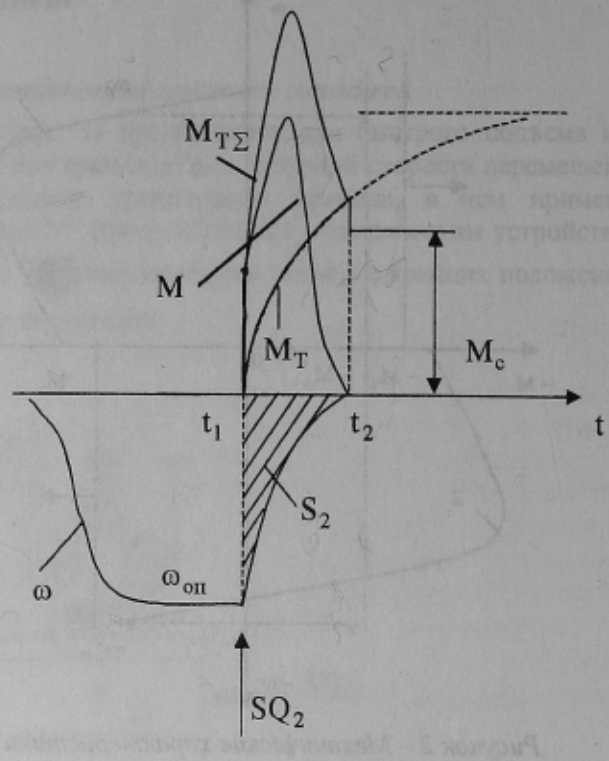
При отсутствии динамического торможения (см. рис. 4, а) двигатель тормозится лишь за счет действия

тормоза. Возрастание тормозного момента  $M_t$  начинается с момента времени  $t_1$  (при наезде на выключатель  $SQ_2$ ) и завершается при остановке двигателя в момент времени  $t_2$ . В промежутке, когда момент  $M_t$  ниже

статического  $M_c$ , преобладающее влияние на движение оказывает вес стола с грузом, в результате чего частота вращения двигателя увеличивается до  $\omega_{\max}$ . Затем следует остановка из-за преобладающего влияния тормоза. В силу дополнительного прироста частоты вращения и недостаточной эффективности тормоза, обусловленных его инерционностью, двигатель проходит значительный угловой путь  $S_1$  (заштрихованная площадка).



*a*



*b*

Рисунок 4 – Переходные процессы в электромеханической системе подъемника при опускании стола

При наличии динамического торможения (см. рис. 4, б) тормозной момент  $M_{T\Sigma}$  имеет резкий скачок в самом начале торможения привода за счет момента  $M$  двигателя, а само торможение более эффективно вплоть до остановки привода. Соответственно снижается и путь пробега  $S_2$ .

Разработанная система привода с комбинированным торможением в настоящее время успешно проходит опытно-промышленную эксплуатацию.

#### ЛИТЕРАТУРА

- Чиликин М.Г., Сандлер А.С., Общий курс электропривода. – М.: Энергоиздат, 1981. - 576с.